

0

结构



119
789

建筑设计技术革新资料汇编

建築設計技術革新資料汇編

第一集（結構）

建筑工程部設計局 編

建筑工程出版社出版

內 容 提 要

本汇編第一集包括空間薄壳結構資料三篇；預应力混凝土結構資料二篇；預制装配式特种結構資料二篇。主要是介紹這些結構的設計理論、計算方法，以及試驗、試制、施工和使用的情况。

本汇編可供設計人員及科学工作者参考。

建築設計技術革新資料汇編

第一集（結構）

建筑工程部設計局 編

1960年5月第1版

1960年5月第1次印刷

7,570册

850×1168 1/32 · 150千字 · 印張 513/16 · 定价(10)0.93元

建筑工程出版社印刷厂印刷 · 新华书店发行 · 書号：1871

建筑工程出版社出版（北京市西郊百万庄）

（北京市書刊出版业营业許可證出字第052号）

前　　言

在党的建設社会主义总路綫的光輝照耀下，1959年我部系統各設計單位在完成國家交給的巨大設計任務的同時，開展了技術革命和技術革新運動，進行了很多的科學研究工作，解決了生產中的一些複雜問題，使我們的設計水平有很大的提高，在今后的設計工作中我們將繼續大力開展技術革命和技術革新運動。為了及時地介紹各院在技術革命、技術革新以及科學研究工作中的成果，我們決定編輯出版“建築設計技術革新資料匯編”，以供設計人員參考。各設計單位可結合具體設計任務予以采用。並希將採用時所發現的問題和取得的經驗及時函告我們，以便進一步總結提高。

本匯編分結構、建築、設備三大部分，按專業不定期地分冊出版。

建筑工程部設計局

1960年1月

目 录

- 无筋扁壳理論及其应用 中南工业建築設計院 喻曉楚 (1)
- 預应力鋼弦混凝土波浪形薄壳的新計算方法
及共工程實踐 西北工业建築設計院 劉家榮 徐永基 (50)
- 四十米木網狀筒拱設計及試驗總結 浙江工业設計院 (84)
- 預应力圓形貯水池若干問題的討論
..... 东北工业建築設計院 徐炳華 (112)
- 預应力電熱混凝土的試驗資料與設計計算
..... 西北工业建築設計院 張彥鈞 (138)
- 預制裝配式双曲線型鋼筋混凝土冷却塔設計介紹
..... 东北工业建築設計院 張夢良 (146)
- 某鋼管厂框架設計介紹 北京工业建築設計院 (173)

无筋扁壳理論及其应用

中南工业建築設計院 袁肅楚

前 言

最近“建筑科学简讯”不只一次的报导了关于无筋双曲扁壳的技术情报消息。这种无筋扁壳又名为薄膜结构 (Membrane structure)。它的新的设计概念是匈牙利 J. Pelikan 教授于1957年7月在挪威奥斯陆召开的第二次国际薄壳结构会议上提出的。印度的洛基中央建筑研究院曾做了2米以内的小型自行成型的方形无筋扁壳的试验，并于1958年8月开始提出一些试验资料。这种扁壳的计算程序与一般薄壳恰恰相反，是先假定壳体的内力完全符合于理想情况，即是壳体中只存在着相互正交的二个主压内力，而且各点的主压内力均相同，然后再根据假定的理想内力情况反过来推求壳体的曲面方程式，因而毋需进行复杂的应力计算。同时，由于壳体中只存在着均匀的主压内力，而且内力很小，就可以不需要配置受力钢筋，从而达到大量节约的目的。印度所试制的构件较小，他们采用麻布薄膜，使壳体自行成型的施工方法来进行预制，壳体的曲面坐标也不需要计算。但对于较大的构件来说，用这种施工方法实际上是很困难，甚至是不大可能的。同时从施工技术角度上看，即使是较小的构件，也还存在一些难以控制的因素，因而通常需要计算曲面坐标，用模板或地胎模来进行制作。由于曲面方程式中，包含相当繁琐的无穷级数项，计算曲面坐标就相当复杂。应用本文所提供的简化计算程序和实用图表，将能使计算工作得到很大程度的简化。此外，印度只提出矩形底边一种无筋扁壳曲面方程式，实际上无筋扁壳应用在圆形构筑

物上，受力性能更好，节约效果也更大。本文考虑了圆形构筑物的结构布置，根据无筋扁壳基本方程式，结合新的边界条件，补充推导了圆形底边和扇形底边两种新无筋扁壳的曲面方程式，并提出应用有限差分法解任意底边形状无筋扁壳曲面坐标的途径，从而推广了这种结构的应用范围。从1959年3月以来，我们已与武汉市几个施工单位协作进行了一系列的试制和试验工作，并且在试点工程中开始应用了这种结构。经验证明，圆形底边无筋扁壳受力性能最好，节约价值最大。在同样情况下，应用圆形无筋扁壳的钢筋和水泥的消耗量，仅为平板结构的 $1/2 \sim 1/5$ ，其他类型的无筋扁壳，也有一定的实用和经济价值。此外，物理概念明确、计算简单、容易掌握，也是这种结构的突出优点。本文只着重介绍理论概念和计算公式图表。对于具有柔性边肋的单独预制的矩形底边无筋扁壳构件的边肋的合理计算方法，还是很值得深入研究的一个问题，在这里，我们也不揣冒昧，根据初步试验资料提出一点在计算方面的探讨意见，目的在于抛砖引玉，提供大家讨论。限于水平，文中难免有不妥或错误之处，希望能得到各方面的指正。

一、无筋扁壳理论的基本概念，曲面 微分方程式和边界条件

一般薄壳结构的计算程序是先确定壳体的曲面方程式，然后通过求解应力微分方程式来计算内力，通常计算过程都是相当复杂的。由于壳体在荷载作用下，不仅产生直接内力，也同时产生剪力、力矩与扭矩等，因而必须配置受力钢筋。对于一般薄壳结构来说，充分发挥结构材料性能的最理想的内力情况，应该是壳体中不仅只存在着两向相互正交的主压内力，而且处处相等，两向主压内力恒为一常数。无筋扁壳理论的基本概念，即是假定壳

体内力完全符合于理想情况，然后再推求壳体的曲面方程式，决定壳体的曲面形状。由于无筋扁壳在均匀的垂直荷载作用下，只产生数值很小的均匀的主压内力，因而壳内毋需配置受力钢筋。

图1中 $ABCD$ 为一代表性的双曲壳微分体， $abcd$ 为该微分体的水平投影。 S_x 及 S_y 为直接内力， S_{xy} 为剪力，单位均为公斤/米。正号代表拉力。 N_x 、 N_y 及 N_{xy} 为水平投影面上的对应直接内力与剪力。则：

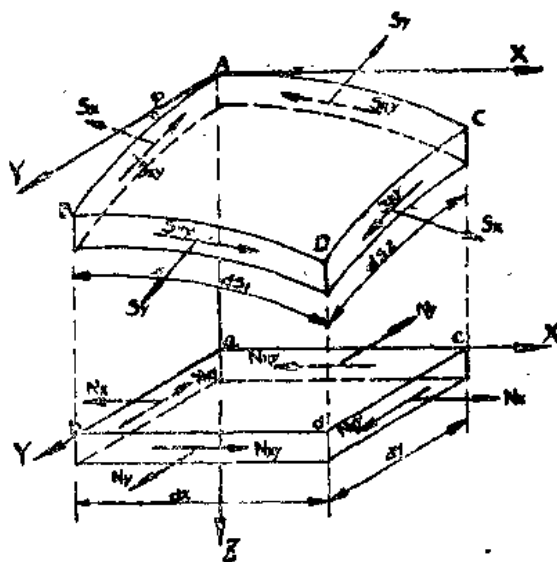


图 1

$$N_x = S_x \frac{\cos \theta}{\cos \varphi} = S_x \sqrt{\frac{1 + \left(\frac{\partial z}{\partial y}\right)^2}{1 + \left(\frac{\partial z}{\partial x}\right)^2}} \quad (1a)$$

$$N_y = S_y \frac{\cos \varphi}{\cos \theta} = S_y \sqrt{\frac{1 + \left(\frac{\partial z}{\partial x}\right)^2}{1 + \left(\frac{\partial z}{\partial y}\right)^2}} \quad (1b)$$

$$N_{xy} = S_{xy} \quad (1c)$$

众所周知，具有任意已知曲面的无弯矩薄壳在仅有竖向荷载情况下的平衡方程式可以写为：

$$\frac{\partial N_x}{\partial x} + \frac{\partial N_{xy}}{\partial y} = 0 \quad (2a)$$

$$\frac{\partial N_y}{\partial y} + \frac{\partial N_{xy}}{\partial x} = 0 \quad (2b)$$

$$N_x \frac{\partial^2 z}{\partial x^2} + N_y \frac{\partial^2 z}{\partial y^2} + 2N_{xy} \frac{\partial^2 z}{\partial x \partial y} = -W \quad (2c)$$

式中 W 为单位水平射影面积上的垂直荷载。当考虑壳体自重时， $W = \frac{W_z}{\cos \varphi \cos \theta} \sin \omega$ ，其中 W_z 为壳体单位体积重量乘上壳体厚度， ω 为曲面微分体二边线之间的夹角（詳参考文献 2）。

因 $\cos \omega = \sin \varphi \sin \theta$

$$\sin \omega = \sqrt{1 - \sin^2 \varphi \sin^2 \theta}$$

故 $W = W_z \sqrt{1 + \tan^2 \varphi + \tan^2 \theta}$

$$= W_z \sqrt{1 + \left(\frac{\partial z}{\partial x}\right)^2 + \left(\frac{\partial z}{\partial y}\right)^2} \quad (2d)$$

根据扁壳理論（参考文献 9）， $\left(\frac{\partial z}{\partial x}\right)^2$ 及 $\left(\frac{\partial z}{\partial y}\right)^2$ 数值极小，一般忽而不計，故 (1a)、(1b) 及 (2d) 式变为：

$$S_x \cong N_x \quad (1d)$$

$$S_y \cong N_y \quad (1e)$$

$$W \cong W_z \quad (2e)$$

按上式 W 取 W_z 近似值后，所取荷载会偏小。实用上当曲面最高点及边界各点决定后，曲面形状几乎大体已定，总重可估算出，再除以水平射影面积作为 W 进行计算，似较为合理。

无筋扁壳理論是在薄膜理論的基础上发展起来的，根据基本概念，再进一步令：

$$N_{xy} = 0 \quad (3a)$$

$$N_x = N_y = N \quad (3b)$$

以公式(3)代入公式(2)内，则公式(2a)及(2b)自然满足，公式(2c)变为：

$$N \frac{\partial^2 z}{\partial x^2} + N \frac{\partial^2 z}{\partial y^2} = -W$$

即： $\frac{\partial^2 z}{\partial x^2} + \frac{\partial^2 z}{\partial y^2} = -\frac{W}{N}$ (4)

公式(4)即是无筋扁壳的曲面微分方程式，式中 N 实际上是壳的水平投影面上的对应直接内力，按公式(1c)、(1e)可以近似地视为与壳的内力相同。

曲面微分方程式的边界条件，在通常情况下是沿壳体周边的竖向坐标 $z = 0$ 。不管壳体周边是什么形状，这个曲面微分方程式和边界条件，都是适合的。

二、三种常用的无筋扁壳的曲面方程式

1. 圆形底边无筋扁壳的曲面方程式

图2为无筋扁壳的圆形底边，取坐标原点位于圆的中心，并假定圆的半径为 r ，则边界条件为：

当 $x^2 + y^2 = r^2$ 时，曲面竖向坐标 $z = 0$ 。

在圆底周边以内，曲面竖向坐标适合微分方程式

$$\frac{\partial^2 z}{\partial x^2} + \frac{\partial^2 z}{\partial y^2} = -\frac{W}{N} \quad (4)$$

令曲面微分方程式(4)的解为：

$$z = C(r^2 - x^2 - y^2) \quad (5)$$

此式符合于边界条件。将公式(5)对 x 及 y 各微分两次，然后代入公式(4)，则：

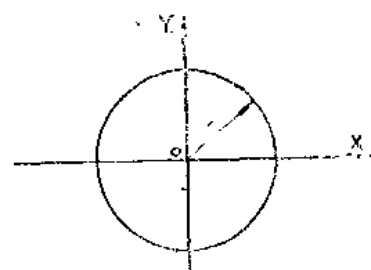


图 2

$$-C(2 + 2) = -\frac{W}{N} \quad \text{即 } C = \frac{1}{4} \cdot \frac{W}{N} \quad (6)$$

以公式(6)代入公式(5), 即得:

$$z = \frac{1}{4} \cdot \frac{W}{N} (r^2 - x^2 - y^2) \quad (7)$$

公式(7)即为圆形底边无筋扁壳的曲面方程式, 代入曲面底边周界内各点之 x 及 y 坐标值即可求得相应各点之竖向坐标 z 值, 从而决定壳体的曲面形状。

2. 矩形底边无筋扁壳的曲面方程式

图3为无筋扁壳的矩形底边, 取坐标原点位于矩形中央, 并假定边长分别为 $2a$ 及 $2b$, 则边界条件为:

当 $x = \pm a$ 及 $y = \pm b$ 时, 曲面竖向坐标 $z = 0$ 。

在四周边界以内, 曲面竖向坐标适合微分方程式:

$$\frac{\partial^2 z}{\partial x^2} + \frac{\partial^2 z}{\partial y^2} = -\frac{W}{N} \quad (4)$$

公式(4)中的 $\frac{W}{N}$ 为一常

数, 可以把它展开为富里哀级数形式,

$$\text{即 } \frac{W}{N} = \frac{4}{\pi} \cdot \frac{W}{N} \sum_{n=1,3,5,\dots}^{\infty} \frac{1}{n} \times (-1)^{\frac{n-1}{2}} \cos \frac{n\pi x}{2a} \quad (8)$$

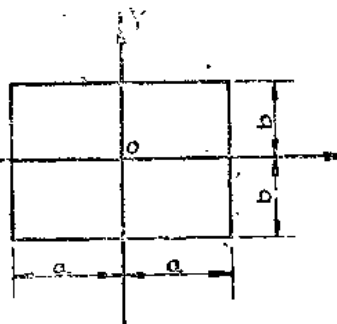


图3

代入(4)式即得

$$\frac{\partial^2 z}{\partial x^2} + \frac{\partial^2 z}{\partial y^2} = -\frac{4W}{\pi N} \sum_{n=1,3,5,\dots}^{\infty} \frac{1}{n} \times (-1)^{\frac{n-1}{2}} \cos \frac{n\pi x}{2a} \quad (9)$$

取公式(9)的一个特解为

$$z_0 = C \cos \frac{n\pi x}{2a} \quad (10)$$

将(10)式分别对 x 及 y 各微分两次, 然后代入(9)式并

消去 $\cos \frac{n\pi x}{2a}$, 即得:

$$\begin{aligned} -C \left[\frac{n\pi}{2a} \right]^2 &= -\frac{4}{\pi} \cdot \frac{W}{N} \sum_{n=1,3,5,\dots}^{\infty} \frac{1}{n^3} (-1)^{\frac{n-1}{2}} \\ \text{即 } C &= \frac{16a^2}{\pi^3} \cdot \frac{W}{N} \cdot \sum_{n=1,3,5,\dots}^{\infty} \frac{1}{n^3} (-1)^{\frac{n-1}{2}} \quad (11) \end{aligned}$$

以公式(11)代入公式(10)即得曲面微分方程式(4)的一个符合 $x = \pm a$ 边界条件的特解为:

$$\begin{aligned} z_0 &= \frac{16a^2}{\pi^3} \cdot \frac{W}{N} \sum_{n=1,3,5,\dots}^{\infty} \frac{1}{n^3} \times \\ &\quad \times (-1)^{\frac{n-1}{2}} \cos \frac{n\pi x}{2a} \quad (12) \end{aligned}$$

再令曲面微分方程式(4)的通解为:

$$\begin{aligned} z &= \frac{16a^2}{\pi^3} \cdot \frac{W}{N} \sum_{n=1,3,5,\dots}^{\infty} \frac{1}{n^3} (-1)^{\frac{n-1}{2}} \cos \frac{n\pi x}{2a} + \\ &\quad + \sum_{n=1,3,5,\dots}^{\infty} Y_n(y) \cos \frac{n\pi x}{2a} \quad (13) \end{aligned}$$

公式(13)已经满足了在 $x = \pm a$ 两边上的边界条件, 式中 $Y_n(y)$ 为待定函数, 根据在 $y = \pm b$ 两边上的边界条件($z = 0$)来决定。

将公式(13)分别对 x 及 y 各微分两次, 然后代入公式(9)内, 经过简化后得:

$$\sum_{n=1,3,5,\dots}^{\infty} \left[\frac{d^2 Y_n}{dy^2} - \frac{n^2 \pi^2}{4a^2} \cdot Y_n \right] \cos \frac{n\pi x}{2a} = 0 \quad (14)$$

一个富里哀级数为零, 它的每一项系数都等于零, 即:

$$\frac{d^2 Y_n}{dy^2} - \frac{n^2 \pi^2}{4a^2} \cdot Y_n = 0 \quad (15)$$

公式(15)为一齐次线性常微分方程, 其特征方程式为 $D^2 - \frac{n^2 \pi^2}{4a^2} = 0$, 此特征方程式之解为 $D = \pm \frac{n\pi}{2a}$, 由是得知

公式(15)之通解为:

$$Y_n = ae^{\frac{n\pi}{2a}y} + be^{-\frac{n\pi}{2a}y} = a_n \cos h \frac{n\pi y}{2a} + \\ + b_n \sin h \frac{n\pi y}{2a}$$

因为 Y_n 是 y 的偶函数，故 $b_n = 0$ ，则公式(15)之通解为：

$$Y_n = a_n \cos h \frac{n\pi y}{2a} \quad (16)$$

由是曲面微分方程式(4)之通解可改写为：

$$z = \frac{16a^2}{\pi^3} \cdot \frac{W}{N} \sum_{n=1,3,5,\dots}^{\infty} \frac{1}{n^3} (-1)^{\frac{n-1}{2}} \cos \frac{n\pi x}{2a} + \\ + \sum_{n=1,3,5,\dots}^{\infty} a_n \cos h \frac{n\pi y}{2a} \cos \frac{n\pi x}{2a} \quad (17)$$

代入边界条件，当 $y = \pm b$ 时， $z = 0$ ，则得：

$$\frac{16a^2}{\pi^3} \cdot \frac{W}{N} \sum_{n=1,3,5,\dots}^{\infty} \frac{1}{n^3} (-1)^{\frac{n-1}{2}} \cos \frac{n\pi x}{2a} + \\ + \sum_{n=1,3,5,\dots}^{\infty} a_n \cos h \frac{n\pi b}{2a} \cos \frac{n\pi x}{2a} = 0 \quad (18)$$

$$\text{即 } a_n = -\frac{1}{\cos h \frac{n\pi b}{2a}} \left[\frac{16a^2}{\pi^3} \cdot \frac{W}{N} \cdot \frac{1}{n^3} (-1)^{\frac{n-1}{2}} \right] \quad (19)$$

以公式(19)代入(17)式内，则得：

$$z = \frac{16a^2}{\pi^3} \cdot \frac{W}{N} \cdot \sum_{n=1,3,5,\dots}^{\infty} \frac{1}{n^3} (-1)^{\frac{n-1}{2}} \times \\ \times \left[1 - \frac{\cosh \frac{n\pi b}{2a}}{\cosh h \frac{n\pi b}{2a}} \right] \cos \frac{n\pi x}{2a} \quad (20)$$

公式(20)即为矩形底边无筋扁壳的曲面方程式，代入曲面边界内各点之 x 及 y 坐标值，即可求得相应各点之竖向坐标 z 值，从而决定壳体曲面的形状。

3. 扇形底边无筋扁壳的曲面方程式

图 4 中 $ABCD$ 为无筋扁壳的扇形底边，

当 $\theta = \pi$ 及 $r = a$ 与 $r = b$ 时，曲面竖向坐标 $z = 0$ 。

在 $ABCD$ 周界以内，曲面竖向坐标适合微分方程式

$$\frac{\partial^2 z}{\partial x^2} + \frac{\partial^2 z}{\partial y^2} = -\frac{W}{N} \quad (4)$$

为了便于求解起见，首先要把公式(4)改变为极坐标形式。根据直坐标与极坐标的关系：

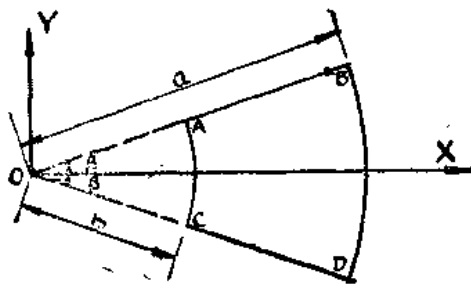


图 4

$$r^2 = x^2 + y^2 \text{ 且 } \tan \theta = \frac{y}{x} \quad (21)$$

$$\text{得 } \left. \begin{aligned} \frac{\partial r}{\partial x} &= \cos \theta; & \frac{\partial r}{\partial y} &= \sin \theta \end{aligned} \right\} \quad (22)$$

$$\text{又 } \left. \begin{aligned} \frac{\partial \theta}{\partial x} &= -\frac{\sin \theta}{r}; & \frac{\partial \theta}{\partial y} &= \frac{\cos \theta}{r} \end{aligned} \right\}$$

$$\frac{\partial z}{\partial x} = \frac{\partial z}{\partial r} \cdot \frac{\partial r}{\partial x} + \frac{\partial z}{\partial \theta} \cdot \frac{\partial \theta}{\partial x} = \frac{\partial z}{\partial r} \cos \theta - \frac{\partial z}{\partial \theta} \cdot \frac{\sin \theta}{r}$$

$$\frac{\partial^2 z}{\partial x^2} = \frac{\partial}{\partial r} \left(\frac{\partial z}{\partial r} \right) \frac{\partial r}{\partial x} + \frac{\partial}{\partial \theta} \left(\frac{\partial z}{\partial r} \right) \frac{\partial \theta}{\partial x}$$

$$= \frac{\partial^2 z}{\partial r^2} \cos^2 \theta - \frac{2}{r} \cdot \frac{\partial^2 z}{\partial r \partial \theta} \sin \theta \cos \theta +$$

$$+\frac{2}{r^2} \cdot \frac{\partial z}{\partial \theta} \sin \theta \cos \theta + \frac{1}{r} \cdot \frac{\partial z}{\partial r} \sin^2 \theta + \\ + \frac{1}{r^2} \cdot \frac{\partial^2 z}{\partial \theta^2} \sin^2 \theta$$

同理 $\frac{\partial^2 z}{\partial y^2} = -\frac{\partial^2 z}{\partial r^2} \sin^2 \theta + \frac{2}{r} \cdot \frac{\partial^2 z}{\partial r \partial \theta} \sin \theta \cos \theta - \frac{2}{r^2} \cdot \frac{\partial z}{\partial r} \times$
 $\times \sin \theta \cos \theta + \frac{1}{r} \cdot \frac{\partial z}{\partial r} \cos^2 \theta + \frac{1}{r^2} \cdot \frac{\partial^2 z}{\partial \theta^2} \cos^2 \theta$

因之得 $\frac{\partial^2 z}{\partial x^2} + \frac{\partial^2 z}{\partial y^2} = -\frac{\partial^2 z}{\partial r^2} + \frac{1}{r} \cdot \frac{\partial z}{\partial r} + \frac{1}{r^2} \cdot \frac{\partial^2 z}{\partial \theta^2}$ (23)

以公式(23)代入公式(4)内，即得到用极坐标形式表达的无筋扁壳曲面微分方程式为：

$$-\frac{\partial^2 z}{\partial r^2} + \frac{1}{r} \cdot \frac{\partial z}{\partial r} + \frac{1}{r^2} \cdot \frac{\partial^2 z}{\partial \theta^2} = -\frac{W}{N}$$
 (24)

暂时假定 $\beta = \frac{1}{4}\pi$ 及 $\beta = \frac{3}{4}\pi$ ，则公式(24)的一个特解可写为：

$$z_0 = -\frac{r^2}{4} \cdot \frac{W}{N} \left(1 - \frac{\cos 2\theta}{\cos 2\beta} \right)$$
 (25)

通过直接验证可以得知公式(25)不仅满足微分方程式(24)，也同时满足 $\theta = \pm \beta$ 的边界条件。

通常齐次线性微分方程式 $\frac{\partial^2 z}{\partial r^2} + \frac{1}{r} \cdot \frac{\partial z}{\partial r} + \frac{1}{r^2} \cdot \frac{\partial^2 z}{\partial \theta^2} = 0$ 之通解，可以表示为： $z_1 = \sum_{n=0}^{\infty} A_n r^n \cos n\theta$ 或 $z_2 = \sum_{n=0}^{\infty} B_n r^{-n} \cos n\theta$ 之形式。

据此，我们可以令公式(24)之通解为：

$$z = -\frac{r^2}{4} \cdot \frac{W}{N} \left(1 - \frac{\cos 2\theta}{\cos 2\beta} \right) + \sum_{n=0}^{\infty} [A_n r^n + B_n r^{-n}] \cos n\theta$$
 (26)

此式不仅适合公式(24)，亦符合 $\theta = \pm \beta$ 之边界条件。

式中： $a = \frac{2n+1}{2\beta} \pi$ ； A_n 及 B_n 为待定常数，可以利用二个圆弧边上的边界条件来决定。

为了便于比較系数起見，可将公式(26)中的 $\left(1 - \frac{\cos 2\theta}{\cos 2\beta}\right)$ 展开为富里哀級数形式，

$$\text{即 } 1 - \frac{\cos 2\theta}{\cos 2\beta} = -\frac{64\beta^2}{\pi^3} \times \sum_{n=0}^{\infty} \frac{(-1)^{n+1} \cos \alpha \theta}{(2n+1)(2n+1+\frac{4\beta}{\pi})(2n+1-\frac{4\beta}{\pi})} \quad (27)$$

以(27)式代入(26)式得：

$$\begin{aligned} z = & -\frac{r^2}{4} \cdot \frac{W}{N} \cdot \frac{64\beta^2}{\pi^3} \times \\ & \times \sum_{n=0}^{\infty} \frac{(-1)^{n+1} \cos \theta}{(2n+1)(2n+1+\frac{4\beta}{\pi})(2n+1-\frac{4\beta}{\pi})} + \\ & + \sum_{n=0}^{\infty} [A_n r^n + B_n r^{-n}] \cos \alpha \theta \end{aligned} \quad (28)$$

根据圓弧边界条件，当 $r = a$ 时， $z = 0$ 。以此代入公式(28)得：

$$\begin{aligned} A_n a^n + B_n a^{-n} = & \frac{a^2}{4} \cdot \frac{W}{N} \cdot \frac{64\beta^2}{\pi^3} \times \\ & \times \frac{(-1)^{n+1}}{(2n+1)(2n+1+\frac{4\beta}{\pi})(2n+1-\frac{4\beta}{\pi})} \end{aligned} \quad (29)$$

当 $r = b$ 时， $z = 0$ 。以此代入公式(28)得：

$$\begin{aligned} A_n b^n + B_n b^{-n} = & \frac{b^2}{4} \cdot \frac{W}{N} \cdot \frac{64\beta^2}{\pi^3} \times \\ & \times \frac{(-1)^{n+1}}{(2n+1)(2n+1+\frac{4\beta}{\pi})(2n+1-\frac{4\beta}{\pi})} \end{aligned} \quad (30)$$

解联立方程式(29)及(30)得:

$$A_n = +16 \frac{W}{N} \cdot \frac{\beta^2}{\pi^3} \left(\frac{a^2}{b^\alpha} - \frac{b^2}{a^\alpha} \right) \times \\ \times \left[\left(\frac{a}{b} \right)^\alpha + \left(\frac{b}{a} \right)^\alpha \right] \frac{(-1)^{n+1}}{(2n+1)(2n+1+\frac{4\beta}{\pi})(2n+1-\frac{4\beta}{\pi})} \quad (31)$$

$$B_n = +16 \frac{W}{N} \cdot \frac{\beta^2}{\pi^3} \cdot (b^2 a^\alpha - a^2 b^\alpha) \times \\ \times \left[\left(\frac{a}{b} \right)^\alpha - \left(\frac{b}{a} \right)^\alpha \right] \frac{(-1)^{n+1}}{(2n+1)(2n+1+\frac{4\beta}{\pi})(2n+1-\frac{4\beta}{\pi})} \quad (32)$$

$$A_n r^\alpha + B_n r^{-\alpha} = +16 \frac{W}{N} \cdot \frac{\beta^2}{\pi^3} \times \\ \times \left[(-1)^{n+1} \left[a^2 \left(\frac{r}{b} \right)^\alpha - b^2 \left(\frac{r}{a} \right)^\alpha + b^2 \left(\frac{a}{r} \right)^\alpha - a^2 \left(\frac{b}{r} \right)^\alpha \right] \right] \\ \left[\left(\frac{a}{b} \right)^\alpha - \left(\frac{b}{a} \right)^\alpha \right] \frac{(-1)^{n+1}}{(2n+1)(2n+1+\frac{4\beta}{\pi})(2n+1-\frac{4\beta}{\pi})} \quad (33)$$

以公式(33)代入公式(28)内则得:

$$z = -\frac{r^2}{4} \cdot \frac{W}{N} \left(1 - \frac{\cos 2\theta}{\cos 2\beta} \right) + \frac{16\beta^2 a^2}{\pi^3} \cdot \frac{W}{N} \times \\ \times \sum_{n=0}^{\infty} \frac{(-1)^{n+1} \left[\left(\frac{r}{b} \right)^\alpha - \left(\frac{b}{r} \right)^\alpha \right] \cos \alpha \theta}{\left[\left(\frac{a}{b} \right)^\alpha - \left(\frac{b}{a} \right)^\alpha \right] (2n+1)(2n+1+\frac{4\beta}{\pi})(2n+1-\frac{4\beta}{\pi})} + \\ + \frac{16\beta^2 b^2}{\pi^3} \cdot \frac{W}{N} \times \\ \times \sum_{n=0}^{\infty} \frac{(-1)^{n+1} \left[\left(\frac{a}{r} \right)^\alpha - \left(\frac{r}{a} \right)^\alpha \right] \cos \alpha \theta}{\left[\left(\frac{a}{b} \right)^\alpha - \left(\frac{b}{a} \right)^\alpha \right] (2n+1)(2n+1+\frac{4\beta}{\pi})(2n+1-\frac{4\beta}{\pi})} \quad (34)$$

$$\text{式中: } \alpha = \frac{2n+1}{2\beta} \pi.$$